

京都大学防災研究所

正会員

糸野勝正

京都大学工学部

正会員

土屋義人

京都大学大学院

学生会員

O青山俊樹

[1] 緒言

石けりの掃流現象は、移動が石けりと河床石けりとのめまぐろしい交換によって特徴づけられ、一般にその現象は河床面近くに限定されていい。ここでは、掃流砂れきの運動を Saltation と考え、それらが集団として運動する場合の砂れき機構を考察する。とくに、解析にあたっては、従来ほとんど考慮を払われていなかった砂れき間の衝突の現象を明らかにするように努めた。すなわち、本研究では、粒径 0.40 cm の砂れきが、アクリライト板製の幅 20 cm、高さ 15 cm の長方形斜面を有する循環式閉水路中に運動する状態を 16 mm撮影機で写真撮影し、その運動をフィルムーションアナライザで詳細に読みとって、砂れき現象の実態を究明しようとしたものである。なお、図-1 は砂れきの運動軌跡を示したものの一例である。

[2] Saltation の機構

まず、撮影されたフィルムによって砂れき現象を觀察した結果、掃流砂れきの運動機構には、つきの 7 つの基本的な現象のあることが見出された。

(1) 静止 (A)；砂れきの静止状態をいい、振幅のきわめて小さな振動を行なっている砂れきの状態も含む。(図-2:A 参照)

(2) 流体力によく運動開始 (B)；流体力によく運動を始めた砂れきは、下流域の砂れき上を転動し、それを乗り越えて跳躍間に移行するようになるが、その跳躍開始位置は下流域の砂れきとの相対位置や流体力の作用によって変わる。(図-2:B 参照)

(3) 衝突による運動開始 (C)；図-2:C に示されるように、跳躍してきた砂れきが、静止している砂れきに衝突し、これを擺きさせる現象で、跳躍してきた砂れきが停止する場合と、そのまま次の跳躍に移行する場合の 2 つが考えられるが、一般に後者の起こる割合が前者に大きい。

(4) 跳躍 (D)；(図-2:D 参照)，(5) 移動砂れき間の衝突 (E)；(図-2:E 参照)

(6) 不発 (F)；(図-2:F 参照)，(7) 停止 (G)；(図-2:G 参照)

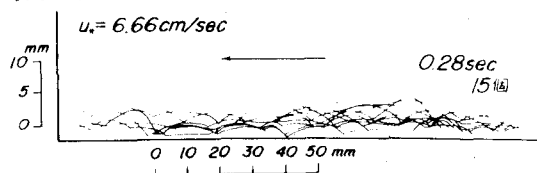


図-1 砂れきの運動軌跡

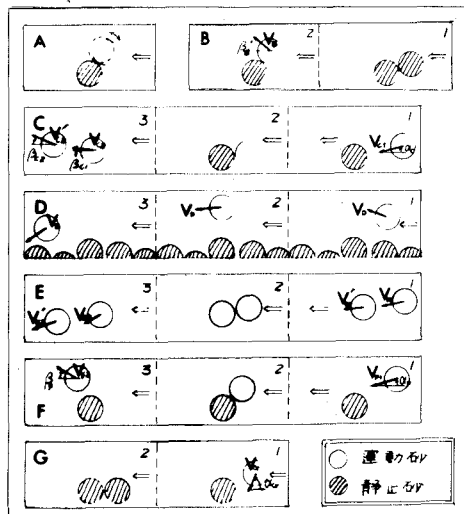


図-2 砂れきのとる運動形式

これら二つの現象にもとづいて、砂山きの掃流構造の模式図を作ると、図-3のように示されるであろう。図中、 P_1 , P_2 および P'_1 , P'_2 はそれぞれの現象への移行確率であり、この場合 P_1 , P_2 は静止砂山き、また P'_1 , P'_2 は移動砂山きを対象としている。二つした基本的な現象が明らかにされ、かつ河床および流体条件を表わす直切な因子とその分布特性を与えて、現象間の相互の移行確率が理論的に求めらるるようになつてはじめて、掃流現象の機構が解明されよう。

2-1 砂山きの跳躍特性

図-4, 5は、それぞれ砂山きの跳躍高さおよび距離性の平均値と標準偏差およびその分布を示したものである。図中の曲線は、土屋(1954)、 \bar{h}_m は单一砂山きの運動に関する考察結果をそのまま移動床における砂山きの saltation に適用したものであるが、実験値とかなりよく一致している。さらに、図-6は、移動砂山きの鉛直方向の粒子密度を表したもので、基準値 C_d は河床付近における最大密度を用いた。以下、図-4, 5, 6から見出される事項はつづくとおりである。

(1) 跳躍高さおよび距離性の平均値は、実験範囲内では掃流力の増加に対してほぼ一定であるが、その標準偏差は若干增加する傾向が認められる。

(2) 跳躍高さの分布形は、理論値実験値両者とも单一砂山きの場合と同じく左右非対称であり、正規分布とは言えない。

(3) 河床からの高さ z における掃流砂山きの粒子密度には、床面からの距離性の増加とともに、ほぼ指数的に減少し、その減少割合は掃流力が小さくなるほど大きい。

2-2 砂山きの衝突構造

図-7, 8には、それぞれ床面に落する砂山きと新たに静止から跳躍に移る砂山きとの運動形式の割合を示し、

図-9, 10には、砂山きの落下角度、飛び出し角度を、図-11には現象(F)における反発係数 α を、また図-12には移動砂

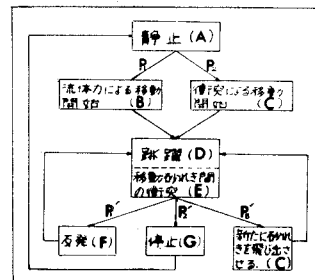


図-3 砂山きの

掃流構造の模式図

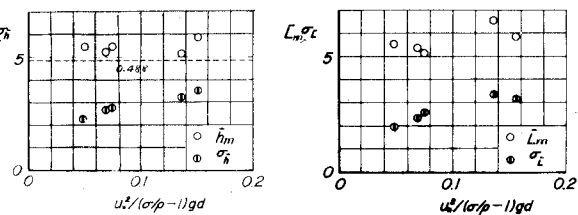


図-4 砂山きの跳躍高さおよび距離性の
平均値と標準偏差

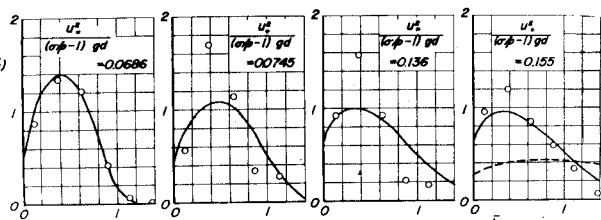


図-5 砂山きの跳躍高さの分布

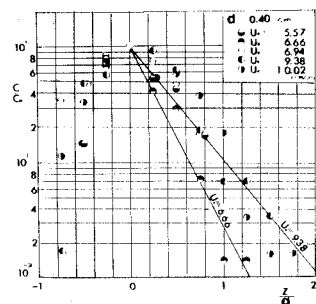


図-6 砂山きの粒子密度

れき間の衝突の回数と粒子密度との関係を示した。これらの図から得られた事項を、図-1~3中の記号を用いて列記すると、つきの通りである。

(1) 剥離せきが流体力と衝突によって静止から跳躍に移行する割合は、限界揚流力付近を除いてほぼ等しく、 $P_1 \approx P_2$ である。したがって、流砂現象において床面からの剥離せきの運動開始は流体力によるもののみでなく、剥離せきの衝突によるものも考慮しなければならないことがわかる。また、床面に落下する剥離せきの運動においては、現象(F)の割合が最も多く、ついて(G), (C)の順になつている ($P_1 > P_2 > P_3$)。

なお、現象(G)における停止の確率 P_3 を用いて、剥離せきが静止から運動を開始し、再び静止するまでの長さ(1 step

の長さ)を求めることができる。すなわち、剥離せきが1回1 stepでとる長さを l 、1回の跳躍長さを L とすると $l = L/P_3$ であるから、図-4およびアに示した実験結果より見えてくる $L_w \approx 5.5d$ および $P_3 \approx 0.25$ という値から l の平均値は約 $22d$ となり、Einsteinらの言う $100d$ という値よりは小さくなる。実験値が少なくて詳しい議論はできないが、今後剥離せきの流連過程を確率過程としてとらえる立場との関連を考える上で興味深い。

(2) 剥離せきの落下角度は、現象(G), (F), (C)の順に小さくなつている ($\alpha_G > \alpha_F > \alpha_C$)。とくに、跳躍してきた剥離せきの60%近くがその運動形式をとる現象(F)の場合の落下角度は約 10° 前後であり、これは飛砂現象における Bagnold が観察している値 12° にはほぼ等しい。また現象(F)における飛び出し角度は、落下角度よりも大きくなつてあり ($\beta_F > \beta_G$)、現象(C)においても揚流力の大きい場合には同様の傾向 ($\beta_{C2} > \beta_{C1} > \alpha_C$) が見られる。

(3) 現象(F)における反発係数 e は、① 剥離せきは球体であり、かつ衝突前後の回転はない ② 衝突時ににおいて、接線方向には外力が働かず運動量が保存される という仮定で導かれた式により求めた。

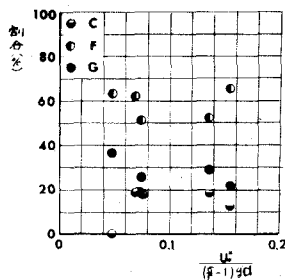


図-7 落下剥離せきのと
る運動形式の割合

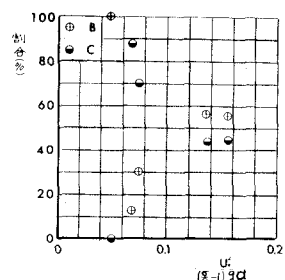


図-8 新たに飛び出し角
度のとる運動形式の割合

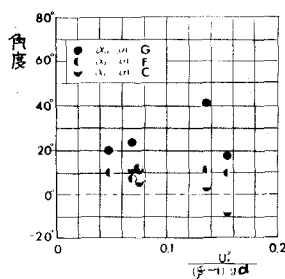


図-9 剥離せきの落下角度

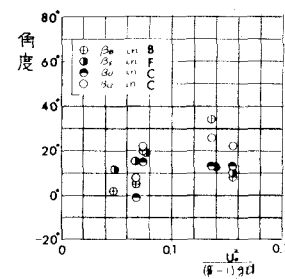


図-10 剥離せきの飛び出し角度

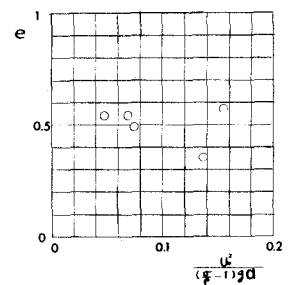


図-11 反発係数

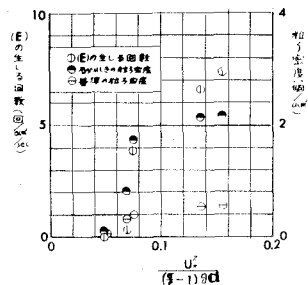


図-12 現象(E)の生じる
回数と粒子密度との関係

$$C = \frac{(V_{F1} \cos \alpha_F - V_{F2} \cos \beta_F) V_{F2} \cos \beta_F - (V_{F2} \sin \beta_F + V_{F1} \sin \alpha_F) V_{F2} \sin \beta_F}{(V_{F1} \cos \alpha_F - V_{F2} \cos \beta_F) V_{F1} \cos \alpha_F + (V_{F2} \sin \beta_F + V_{F1} \sin \alpha_F) V_{F1} \sin \alpha_F}$$

二の反発係数 C には、衝突時ににおける砂れきの非定常運動や、Loose な河床砂れきへの衝突であるとの影響などが含まれているが、この結果によると掃流力による系統的な変化は見られずほぼ 0.5 程度である。

(4) 移動砂れきの個数が増加すると、移動砂れき間の衝突回数は急激に増加する。二のことは、今後掃流力の大きな場合には、流砂層内における流速分布などの検討において二の種類の影響を考慮することが必要であることを示唆している。

以上、掃流砂の運動機構を明確にするために掃流砂現象を写真撮影して、その現象を詳細に把握するよう努めさせていたが、今後さらに種々の条件に対して実験を行なうとともに、砂れき現象についても同様な実験的研究を進めて、流砂・砂れき現象における砂粒の Saltation 機構の統一的な解明に努力していきたいと考えている。最後に、本研究を行なうにあたり、種々の討論に加わっていただいた防災研究所の高橋保助教授、道上正輔助手、角野稔助手および大阪府土木部の渡戸健介氏と、資料整理に協力していただいた穂積徹氏に謝意を表明するとともに、本研究の一部は文部省特定研究費によるものであることを付記する。

本文中に用いた記号の説明

V_B, β_B ; 現象(B)における砂れきの飛出し速度、角度	U_B ; 摩擦速度
V_{C1}, α_C ; 現象(C)における砂れきの落下速度、角度	σ ; 砂れきの密度
V_{C2}, β_C ; 現象(C)における衝突した砂れきの跳び出しこよみ度および角度	ρ ; 流体(水)の密度
V_{C2}, β_{C2} ; 現象(C)における衝突された砂れきの飛出し速度および角度	g ; 重力加速度
V_0 ; 現象(D)における砂れきの速度	d ; 砂れきの粒径
V_{E1}, V_{E1} ; 現象(E)における砂れきの衝突前の速度	h ; 砂れきの跳躍高さ
V_{E2}, V_{E2} ; 現象(E)における砂れきの衝突後の速度	\bar{h} ; h/d
V_{F1}, α_F ; 現象(F)における砂れきの落下速度、角度	L ; 砂れきの跳躍距離
V_{F2}, β_F ; 現象(F)における砂れきの飛出し速度、角度	\bar{L} ; L/d
V_{G1}, α_G ; 現象(G)における砂れきの落下速度、角度	\bar{h}_m, \bar{L}_m ; \bar{h}, \bar{L} の平均値
P ; 現象(A)から(B)への移行確率	σ_m, σ_l ; \bar{h}, \bar{L} の標準偏差
B ; 現象(A)から(C)への移行確率	$f(\bar{h})$; \bar{h} の石壁密度関数
R ; 現象(D)から(F)への移行確率	C ; 鉛直方向の粒子密度
B' ; 現象(D)から(G)への移行確率	C_a ; 粒子密度の基準値
B'' ; 現象(D)から(C)への移行確率	Z ; 河床からの高さ